

В.А. Фадеев, д-р техн. наук, Д.О. Федоренко, Д.В. Ромашов,  
В.А. Федорович, д-р техн. наук, Харьков, Украина

## ПОВЫШЕНИЕ ЭФФЕКТИВНОСТИ АЛМАЗНО-АБРАЗИВНОЙ ОБРАБОТКИ ПУТЕМ УПРАВЛЕНИЯ ПРОЦЕССОМ САМОЗАТАЧИВАНИЯ КРУГОВ

*Найбільш поширеним в машинобудуванні високопродуктивним способом прецизійної обробки є шліфування з використанням алмазних кіл. В даній статті розглянуті основні проблеми, що виникають при шліфуванні, а також визначені перспективні шляхи їх вирішення з використанням методів планованого експерименту та математичного моделювання за методом скінчених елементів.*

*Наиболее распространенным в машиностроении высокопроизводительным способом прецизионной обработки является шлифование с применением алмазных кругов. В данной статье рассмотрены основные проблемы, возникающие при шлифовании в режиме самозатачивания, а также определены пути их решения с использованием методов планируемого эксперимента и математического моделирования по методу конечных элементов.*

*Diamond grinding is the most common way to high-precision machining. This article describes the main problems associated with self sharpening grinding process, as well as the prospects for their solution, using mathematical planning and finite element method.*

### Введение

Алмазно-абразивная обработка занимает ведущую позицию в обработке сверхтвердых материалов. Эффективность процесса алмазного шлифования определяется качеством и характеристиками алмазных кругов и правильноностью выбора условий шлифования. Первое условие в большой степени обеспечивается на стадии изготовления алмазных кругов, второе – на стадии их эксплуатации.

При шлифовании абразивные инструменты подвергаются периодическим и перманентным силовым, тепловым и физико-химическим воздействиям, в результате которых их рабочие поверхности изнашиваются, затупляются и засаливаются [1]. Режущая способность шлифовального круга снижается с увеличением наработки вследствие затупления и засаливания его рабочей поверхности.

Наиболее рациональными условиями алмазного шлифования является режим их самозатачивания в процессе обработки, который обеспечивается оптимальным сочетанием прочности алмазных зерен, прочности связки и режимами обработки. Свойство самозатачивания проявляется только в том случае, если характеристика круга соответствует технологическим условиям работы. Если же она выбрана неправильно, происходит либо преждевременный износ, либо быстрое затупление круга. Последнее вызывает огранку детали, прижоги, увеличение сил резания и сопровождается

ся шумом. Часто из-за неправильной характеристики обрабатываемый материал втирается в поверхность круга, засаливая ее и вместо шлифования имеет место вредная работа трения [2].

Повышение эффективности работы алмазно-абразивных инструментов является важной научно-практической задачей, решение которой требует, на наш взгляд, разработки научно обоснованных режимов шлифования. Результаты многочисленных теоретических и экспериментальных исследований в области абразивной обработки, свидетельствуют об эффективности применения методов моделирования при оптимизации процессов спекания и шлифования [3-6].

В настоящее время практически отсутствуют разработки по моделированию процессов спекания и шлифования алмазных кругов, позволяющие без длительных трудоемких и дорогостоящих экспериментальных исследований определять рациональные условия, реализующие самозатачивание алмазных кругов при шлифовании. В связи с этим в задачу настоящих исследований входило изучение влияния прочностных характеристик связки, покрытий, обрабатываемых материалов, температуры спекания, а также качественного и количественного состава металлофазы на НДС в зоне шлифования, определяющее степень разрушения зерна в процессе микрорезания, что позволит установить основные критерии и условия, определяющие реализацию режима самозатачивания.

### **Результаты и их обсуждение**

При проведении исследований были использованы современные методы проведения модельных экспериментов. Для прогнозирования эксплуатационных характеристик использовался метод конечных элементов (МКЭ). Для решения поставленных задач в работе применялись новейшие аналитические CAD/CAE- комплексы, такие как: SolidWorks, CosmosWorks, ANSYS. Для получения математической модели процессов изготовления и эксплуатации кругов из СТМ был использован метод многофакторного планируемого эксперимента.

Общий вид математической модели:

$$Y = b_0 + \sum b_i X_i + \sum b_{i,j} X_i X_j + \sum b_{ii} X_i^2 + \dots \quad (1)$$

где  $X$  – независимые переменные, факторы;  $Y$  – зависимые переменные, отзывы, параметры оптимизации, функции цели;  $b_i$  – коэффициенты находящиеся расчетным путем.

В таблице 1 приведены значения и принятые уровни независимых факторов, влияющих на процесс изготовления абразивных кругов из СТМ. С использованием выбранных факторов была проведена серия модельных экспериментов по спеканию алмазоносного слоя, в результате которых получены эпюры распределения полей напряжений и деформаций в зоне спекания.

Таблица 1. Значения факторов для моделирования процесса изготовления абразивных кругов из СТМ

Уровни факторов	КТР металлофазы		Модуль упругости связки		Модуль упругости покрытия		Температура	
	Натуральное значение 1/К	Кодированное значение $X_1$	Натуральное значение Н/м <sup>2</sup>	Кодированное значение $X_2$	Натуральное значение Н/м <sup>2</sup>	Кодированное значение $X_3$	Натуральное значение °C	Кодированное значение $X_4$
1	1,7e-05	+1	6,9e+011	+1	9e+011	+1	800	+1
0	1,1e-05	0	4,4e+011	0	5,05e+011	0	600	0
-1	0,5e-05	-1	1,9e+011	-1	1,01e+011	-1	400	-1

Обработка результатов планируемого эксперимента позволила получить математическую модель, адекватно описывающую процесс спекания шлифовальных кругов из СТМ в представленном диапазоне варьирования независимых факторов.

$$Y = 31,09 - 0,393X_1 - 0,169X_2 - 2,287X_3 - 3,604X_4 + 8,54X_1X_2 + 0,848X_1X_3 + 0,84X_1X_4 + 0,605X_2X_3 + 1,603X_2X_4 + 0,381X_3X_4 - 12,893X_1^2 - 8,598X_2^2 + 14,497X_3^2 - 10,033X_4^2 \quad (2)$$

На рисунке 1 представлены зависимости напряжений, возникающие в системе «зерно–связка–металлофаза–покрытие» от температуры спекания при изменении КТР металлофазы, определяемой маркой алмазных зерен, и модуля упругости связки, зависящей от ее марки. При анализе результатов моделирования выявлено, что при КТР металлофазы в пределах  $(1,0-1,7) \cdot 10^{-5}$  1/К напряжения в системе минимальны. Присутствие металлофазы с КТР =  $0,5 \cdot 10^{-5}$  1/К приводит к увеличению напряжений в 2-2,5 раза.

Визуализация полей напряжений для случаев их минимального и максимального уровня, наблюдаемых в зоне спекания показана на рисунке 2.

Моделирование процесса шлифования осуществлялась аналогично с той лишь разницей, что в данном опыте при создании модели связки была заложена пористая структура, что отображает реальные ее особенности в спеченном круге.

В табл. 2 представлены уровни и значения факторов, принятые для исследования НДС системы в зоне микрорезания, при шлифовании, как наиболее влияющие на данный процесс.

Для описания процесса обработки была получена следующая математическая модель:

$$Y = 36,023 - 0,332X_1 - 0,378X_2 - 2,397X_3 + 0,343X_4 - 0,3874X_1X_2 + 0,379X_1X_3 - 0,388X_1X_4 + 0,358X_2X_3 + 0,387X_2X_4 - 0,387X_3X_4 + 2,925X_1^2 - 19,35X_2^2 + 2,945X_3^2 + 2,9303X_4^2 \quad (3)$$

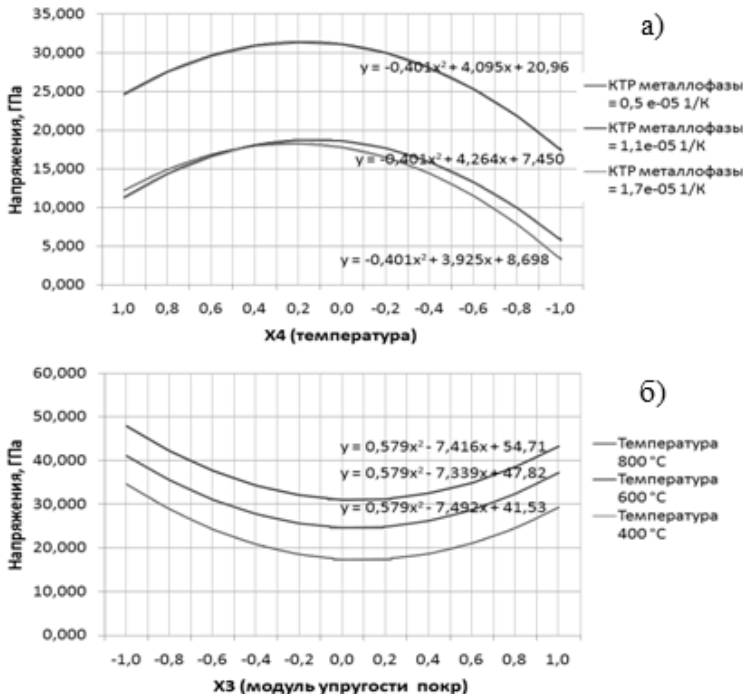


Рисунок 1 – Зависимость напряжений от КТР металлофазы и температуры спекания (а), от модуля упругости связки и температуры спекания (б)

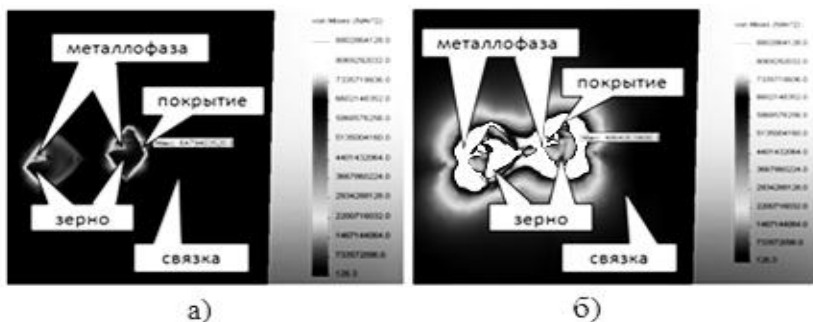


Рисунок 2 – Эпюры полей минимальных (а) и максимальных (б) напряжений, наблюдавшихся в серии опытов по спеканию кругов в выбранном диапазоне факторов

Таблица 2 – Принятые значения факторов для процесса высокоскоростного шлифования

Уровни факторов	КТР металлофазы		Модуль упругости связки		Модуль упругости ОМ		Температура	
	Натуральное значение 1/К	Кодированное значение $X_1$	Натуральное значение Н/м <sup>2</sup>	Кодированное значение $X_2$	Натуральное значение МПа	Кодированное значение $X_3$	Натуральное значение °C	Кодированное значение $X_4$
1	1,7e-05	+1	9e+011	+1	800	+1	800	+1
0	1,1e-05	0	5,05e+011	0	600	0	600	0
-1	0,5e-05	-1	1,1e+011	-1	400	-1	400	-1

На рисунке 3 проиллюстрированы результаты модельных экспериментов по расчету зависимостей напряжений в зоне микрорезания от модуля упругости связки, и обрабатываемого материала при варьировании КТР металлофазы.

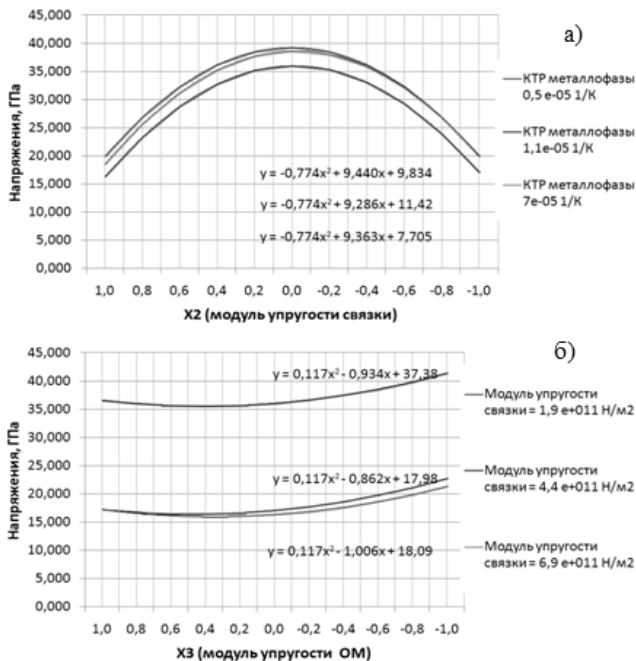


Рисунок 3 – Зависимость напряжений, возникающих в зоне микрорезания от модуля упругости связки и КТР металлофазы (а); модуля упругости связки и обрабатываемого материала (б)

Анализ полученных зависимостей позволил установить, что максимальный уровень напряжений, возникающих в системе «зерно – металлофаза – связка – ОМ» наблюдается для значений модуля упругости связки, соответствующему нулевому уровню данного параметра (см. табл.2). Модуль упругости обрабатываемого материала является практически незначимым параметром и в сравнении с КТР металлофазы зерна и модуля упругости связки не оказывает заметного влияния на величину возникающих в системе напряжений.

На рисунке 4 представлена визуализация полей напряжений, возникающих в системе «зерно – металлофаза – связка – ОМ» при шлифовании.

В результате анализа распределений напряжений, возникающих при шлифовании в системе «зерно – металлофаза – связка – ОМ» для случая пористой связки установлено, что при определенном сочетании значений выбранных независимых факторов зона максимальных напряжений смещается из области контакта зерна с обрабатываемым материалом в зону расположения наиболее тонких мостиков связки между порами.

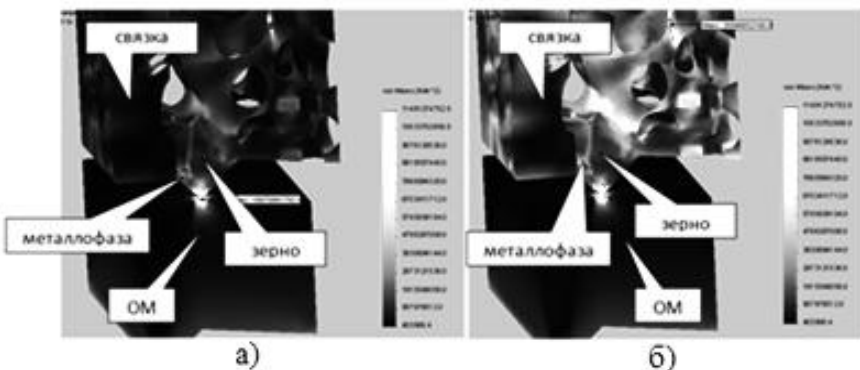


Рисунок 4 – Эпюры полей минимальных (а) и максимальных (б) напряжений, наблюдаемых в серии опытов по шлифованию в выбранном диапазоне факторов

## Выводы

С использованием метода 3D моделирования исследованы процессы спекания алмазных кругов и шлифования в выбранном диапазоне варьирования основных характеристик абразивного инструмента и режимов шлифования, а также широкого спектра обрабатываемых материалов.

В ходе проведенного цикла модельных экспериментов при реализации метода математического планирования получены математические модели, описывающие процессы спекания алмазных кругов и шлифования. Анализ полученных зависимостей напряжений, возникающих в системе «зерно – металлофаза – связка – ОМ» от модуля упругости связки позволил установить, что максимального уровня напряжения достигают при значений модуля упругости связки  $5,05e+011$  Н/м<sup>2</sup>. Модуль упругости обрабатываемого материала практически не оказывает заметного влияния на величину возникающих в системе напряжений. Установлено, что наиболее значимым фактором, влияющим на НДС исследуемых систем, является КТР металлофазы. Показано, что присутствие металлофазы с ТКЛР =  $0,5e-005$  1/К приводит к увеличению напряжений в 2 – 2,5 раза.

Показано, что фактор пористости связки (количество, размеры пор и характер их распределения) в большой степени определяет возникновение критических напряжений, приводящих к выкрашиванию затупившихся зерен, а следовательно обуславливает возможность управления процессом самозатачивания за счет регулирования характеристик пористости связки. Принимая во внимание естественную пористость связки, показано, что даже при соотношении модуля упругости связки и обрабатываемого материала близком 4,4 : 1, зона максимальных напряжений располагается на наиболее тонких мостиках связки между порами.

**Список использованных источников:** 1 Худобин Л.В., Унянин А.Н. Минимизация засаливания шлифовальных кругов. – Ульяновск : УлГТУ, 2007. – 298 с.; 2 Переверзев П.П. Взаимосвязь производительности и точности операций шлифования с интенсивностью затупления кругов из различных абразивных материалов. – Автореф. дис. канд. техн. наук, Челябинск, 1981. – 23 с.; 3. Oliveira J.F.G, Silva E.J. and other. Industrial challenges in grinding // Annals of the CIRP. – v. 58. – p.663–680; 4 Jackson M.J., Barlow N., and other. Computer Aided Design of High-Performance Grinding Tools //Proceedings of the Institution of Mechanical Engineers (London), Part B //Journal of Engineering Manufacture. – 2001. – v. 215. – p. 583-588; 5 Gol'din V.V., Zhuravsky V. G. and other. CALS technologies and tolerant translators Automation and Remote Control. – v. 68. – № 4. – p. 710-726; 6 Karpuschewski B., Wehmeier M. and other. Grinding Monitoring System Based on Power and Acoustic Emission Sensors // Annals of the CIRP. – 2000. – v.49. – № 1. –p.235-240.

Поступила в редакцию 12.06.2012